(11) EP 2 056 104 A1

(12)

EUROPÄISCHE PATENTANMELDUNG

(43) Veröffentlichungstag: 06.05.2009 Patentblatt 2009/19

(51) Int Cl.: **G01N** 27/90 (2006.01)

(21) Anmeldenummer: 08167754.4

(22) Anmeldetag: 28.10.2008

(84) Benannte Vertragsstaaten:

AT BE BG CH CY CZ DE DK EE ES FI FR GB GR HR HU IE IS IT LI LT LU LV MC MT NL NO PL PT RO SE SI SK TR

Benannte Erstreckungsstaaten:

AL BA MK RS

(30) Priorität: 29.10.2007 CH 16792007

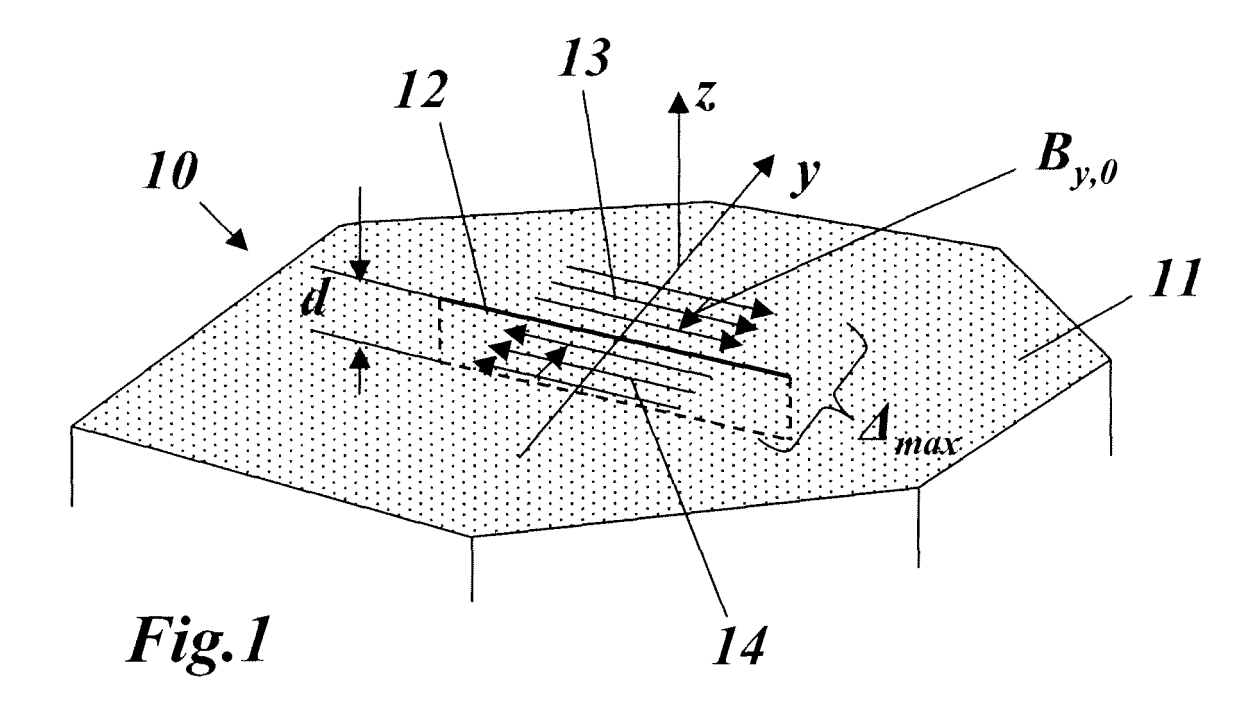
(71) Anmelder: Alstom Technology Ltd 5400 Baden (CH)

(72) Erfinder:

- Moser, Roland Richard 8005, Zürich (CH)
- Revaz, Bernard
 1205, Genf (CH)
- Reymond, Serge 1205, Genf (CH)
- Kejik, Pavel 1024, Ecublens (CH)
- Popovic, Radivoje 1025, St-Sulpice (CH)
- (54) Verfahren zum Bestimmen geometrischer Eigenschaften einer Anomalie in einem Werkstück sowie Messvorrichtung zur Durchführung des Verfahrens
- (57) Die Erfindung betrifft ein Verfahren zum Bestimmen geometrischer Eigenschaften (d) einer die elektrische Leitfähigkeit verändernden Anomalie (12) im oberflächennahen Bereich eines elektrisch leitenden, insbesondere metallischen Werkstücks (10).

Eine deutliche Vereinfachung wird dadurch erreicht, dass im Bereich der Anomalie (12) in dem Werkstück

(10) Wirbelströme (13, 14) mit unterschiedlicher Frequenz angeregt werden, und dass das von den angeregten Wirbelströmen erzeugte Magnetfeld (B_{y,0}) in der Umgebung der Anomalie (12) abgetastet und ausschliesslich aus der Verteilung des Magnetfeldes (B_{y,0}) auf die geometrischen Eigenschaften der Anomalie geschlossen wird.



20

40

TECHNISCHES GEBIET

[0001] Die vorliegende Erfindung bezieht sich auf das Gebiet der zerstörungsfreien Werkstückprüfung. Sie betrifft ein Verfahren zum Bestimmen geometrischer Eigenschaften einer Anomalie in einem Werkstück gemäss dem Oberbegriff des Anspruchs 1 sowie eine Messvorrichtung zur Durchführung des Verfahrens.

1

STAND DER TECHNIK

[0002] Der Anmelderin ist bekannt, dass das Maximum der in der Oberflächen-Ebene liegenden Quadratur (out-of-phase)-Komponente der Riss-bedingten Magnetfeld-Anomalie ($B_{y,0}$ "(ω)) im magnetischen Wechselfeld eines von der Oberfläche eines elektrisch leitenden Werkstücks in die Tiefe reichenden Risses nützliche Informationen im Bezug auf die Geometrie des Risses enthält. Der Vorteil eines solchen Vorgehens liegt darin, dass die gemessene Magnetfeldgrösse in erster Linie von der Risstiefe abhängt und nicht vom Rissvolumen, wie dies beispielsweise für ein statisches Magnetfeld der Fall ist. Nachteilig ist hierbei jedoch, dass die Risstiefe nicht ohne die zusätzliche Kenntnis der Skintiefe und der magnetischen Permeabilität im Werkstück zum gemessenen $B_{v,0}$ "(ω) in Beziehung gesetzt werden kann.

DARSTELLUNG DER ERFINDUNG

[0003] Es ist daher Aufgabe der Erfindung, ein Verfahren und eine Vorrichtung anzugeben, mit denen die geometrischen Eigenschaften einer Anomalie, insbesondere die Risstiefe eines Risses, in einem elektrisch leitenden, insbesondere metallischen Werkstück ohne zusätzliche Kenntnisse über das Werkstück bestimmt werden können.

[0004] Die Aufgabe wird durch die Gesamtheit der Merkmale der Ansprüche 1 und 13 gelöst. Wesentlich für die Erfindung ist, dass im Bereich der Anomalie in dem Werkstück Wirbelströme angeregt werden, und dass das von den angeregten Wirbelströmen erzeugte Magnetfeld in der Umgebung der Anomalie abgetastet und ausschliesslich aus der Verteilung des Magnetfeldes auf die geometrischen Eigenschaften der Anomalie geschlossen wird.

[0005] Eine Ausgestaltung des Verfahrens nach der Erfindung ist dadurch gekennzeichnet, dass Anomalien in Form von Rissen im Werkstück untersucht werden, dass als geometrische Eigenschaft der Risse die Risstiefe bestimmt wird, dass in einem ersten Schritt die Lage des Risses auf der Oberfläche des Werkstücks bestimmt wird, und dass in einem zweiten Schritt die Verteilung des Magnetfeldes quer zur Längsrichtung des Risses abgetastet und ausgewertet wird, wobei die Wirbelströme im Bereich des Risses durch Anlegen eines magnetischen Wechselfeldes angeregt werden, und die in der

Ebene der Oberfläche und quer zur Längsrichtung des Risses liegende Quadratur-Komponente des Magnetfeldes abgetastet und ausgewertet wird.

[0006] Vorzugsweise wird die Quadratur-Komponente des Magnetfeldes bei verschiedenen Frequenzen des magnetischen Wechselfeldes abgetastet und ausgewertet, wobei insbesondere die Frequenz des magnetischen Wechselfeldes einen vorgegebenen Frequenzbereich durchfährt, der von etwa 1 kHz bis zu etwa 1 MHz reicht. [0007] Eine andere Ausgestaltung des erfindungsgemässen Verfahrens zeichnet sich dadurch aus, dass, ausgehend von dem Riss, der erste Nulldurchgang der in der Ebene der Oberfläche und quer zur Längsrichtung des Risses liegenden Quadratur-Komponente des Magnetfeldes bestimmt und aus dem ersten Nulldurchgang die maximale Stromschichtbreite der mit dem Riss verknüpften Stromschichten der Wirbelströme ermittelt wird, und dass aus der ermittelten maximalen Stromschichtbreite auf die Risstiefe des zugehörigen Risses geschlossen wird.

[0008] Vorzugsweise wird zur Messung des Magnetfeldes ein auf der Basis des Hall-Effekts arbeitender Messkopf verwendet, wobei insbesondere der Messkopf eine Mehrzahl von in einem linearen Sensor-Array angeordneten Sensorelementen auf CMOS-Basis (CMOS: complementary metal-oxide-semiconductor) in Form von vertikalen Hall-Elementen umfasst. Zur Messung der in der Ebene der Oberfläche und quer zur Längsrichtung des Risses liegenden Quadratur-Komponente des Magnetfeldes wird dabei der lineare Sensor-Array quer zur Längsrichtung des Risses ausgerichtet.

[0009] Bevorzugt wird die maximale Stromschichtbreite mit einer Genauigkeit von 10 µm und die Risstiefe mit einer Auflösung von etwa 50 µm bestimmt.

[0010] Eine Ausgestaltung der erfindungsgemässen Messvorrichtung ist dadurch gekennzeichnet, dass die ersten Mittel eine Magnetspule umfassen, dass die zweiten Mittel einen Messkopf umfassen, der innerhalb oder unterhalb der Magnetspule angeordnet ist, dass die Magnetspule und der Messkopf in einer Abtastvorrichtung zusammengefasst sind, und dass die Abtastvorrichtung über die Oberfläche des Werkstücks verfahrbar ist, wobei vorzugsweise die Abtastvorrichtung mittels eines Roboters verfahrbar ist.

45 [0011] Insbesondere ist die Magnetspule an einen Frequenzgenerator angeschlossen, der Frequenzen im Bereich zwischen etwa 1 kHz und etwa 1 MHz erzeugt. Der Messkopf umfasst einen linearen Sensor-Array mit nach dem Hall-Effekt arbeitenden Sensorelementen, und an eine Signalverarbeitungseinheit angeschlossen. Die Sensorelemente des linearen Sensor-Arrays sind dabei vorzugsweise auf CMOS-Basis in Form von vertikalen Hall-Elementen ausgebildet.

KURZE ERLÄUTERUNG DER FIGUREN

[0012] Die Erfindung soll nachfolgend anhand von Ausführungsbeispielen im Zusammenhang mit der Zeichnung näher erläutert werden. Es zeigen

Fig. 1 in einer schematischen Darstellung die Ausgangssituation beim erfindungsgemässen Verfahren, bei der sich ein Riss mit einer Risstiefe von der Oberfläche in ein elektrisch leitendes Werkstück hinein erstreckt und bei Anlegen eines magnetischen Wechselfeldes Wirbelströme mit Stromschichten ausbildet;

Fig. 2 die berechneten Kurven der Quadratur-Komponente des magnetischen Wechselfeldes in der Richtung quer zum Riss für verschiedene Frequenzen des magnetischen Wechselfeldes;

Fig. 3 die berechnete Abhängigkeit der aus Fig. 2 bestimmten maximalen Stromschichtbreite an einem Riss von der Risstiefe;

Fig. 4 eine beispielhafte Abtastvorrichtung zur Ermittlung der maximalen Stromschichtbreite an einem Riss;

Fig. 4a die Anordnung der VHD-Sensorelemente in einem linearen Array der Abtastvorrichtung gemäss einem Ausführungsbeispiel der Erfindung und

Fig. 5 die mit einem Roboter ausgerüstete Messvorrichtung zur Bestimmung der Risstiefe gemäss einem Ausführungsbeispiel der Erfindung.

WEGE ZUR AUSFÜHRUNG DER ERFINDUNG

[0013] In Fig. 1 ist in einer schematischen Darstellung die typische Ausgangssituation beim erfindungsgemässen Verfahren wiedergegeben. Ein Werkstück 10 aus einem elektrisch leitenden Material, z.B. einem Metall, ist von einer Oberfläche 11 begrenzt, von der aus ein Riss 12 bis zu einer Risstiefe d in den Werkstückkörper hineinreicht. Der Riss 12 erstreckt sich in einer Längsrichtung (x-Richtung im Koordinatensystem der Fig. 1). Wird nun der Bereich des Werkstücks 10, welcher den Riss 12 enthält, mit einem magnetischen Wechselfeld beaufschlagt, werden in dem Werkstück 10 oberflächennahe Wirbelströme induziert, die ihrerseits ein Magnetfeld erzeugen. Im Bereich des Risses 12, der eine isolierende Barriere für die Wirbelströme darstellt, bilden sich Stromschichten 13, 14 aus, die sich am Verlauf des Risses 12 orientieren (die Breite der Stromschichten 13, 14 ist in Fig. 1 übertrieben dargestellt). Die (wechselnden) Stromschichten 13, 14 erzeugen ein (wechselndes) Magnetfeld, von dem vor allem die in der Ebene der Oberfläche 11 liegende Komponente $B_{y,0}$ senkrecht zur Längsrichtung des Risses 12 eine Rolle spielt.

[0014] Betrachtet man die Abhängigkeit des Quadra-

tur-Anteils B_{v.0}"(y) dieser Komponente von der y-Ortskoordinate, ergibt sich der in Fig. 2 dargestellte Verlauf, der für verschiedene Frequenzen des anregenden Magnetfeldes (10 kHz, 30 kHz, 100 kHz, 300 kHz, 1 Mhz und 3 Mhz) unterschiedliche Kurven zeigt, die alle (vom Riss 12 bei y=0 aus gesehen) einen ersten Nulldurchgang haben, der als Bereite Δ der Stromschichten 13, 14 interpretiert wird. Über den Frequenzbereich der Anregungsfrequenz gesehen, der von 1 kHz bis zu 1 Mhz reicht, geht diese Stromschichtbreite Δ durch ein Maximum Δ_{max} , die als maximale Stromschichtbreite ausschliesslich von der Risstiefe dabhängt, nicht jedoch von der elektrischen Leitfähigkeit und magnetischen Permeabilität des Materials, aus dem das Werkstück 10 besteht. Es ergibt sich dann für den allgemeinen Fall der in Fig. 3 wiedergegebene Zusammenhang zwischen Risstiefe d und der maximalen Stromschichtbreite Δ_{max} , der näherungsweise durch die Proportionalitätsrelation Δ_{\max} ~ d^{0,3} beschrieben werden kann. Diese Relation bildet die Basis des erfindungsgemässen Verfahrens, das aus einer Messung der maximalen Stromschichtbreite Δ_{\max} die Risstiefe d des die Anomalie verursachenden Risses

[0015] Wie in Fig. 4 und Fig. 5 dargestellt, umfasst die Messvorrichtung 18 zum Messen der Risstiefe eine Abtastvorrichtung 15 mit einer Magnetspule 16, die von einem Frequenzgenerator 20 über eine Treiberschaltung 19 mit einem einstell- und durchstimmbaren Wechselstrom im Frequenzbereich zwischen1 kHz und 10 MHz beaufschlagt wird. Die Magnetspule 16, die zur Bestimmung von Risstiefen von 1 mm oder weniger beispielsweise einen Aussendurchmesser von 4 mm und einen Innendurchmesser von 1,5 mm haben kann, erzeugt ein magnetisches Wechselfeld, das seinerseits im Werkstück 10 Wirbelströme erzeugt und mit dem das Werkstück 10 abgefragt wird. Innerhalb oder unterhalb der Magnetspule 16 ist ein Messkopf 17 angeordnet, der mit der Magnetspule 16 mitbewegt wird und die von den Wirbelströmen erzeugten Magnetfelder abtastet. Kernstück des Messkopfes 17 ist ein in Standard-CMOS-Technologie hergestellter Halbleiterchip, der einen linearen Sensor-Array 26 von VHD-Sensorelementen 25 enthält (Fig. 4a), die als vertikale Hall-Elemente (Vertical Hall Devices VHD) ausgebildet sind. Mit diesem Sensor-Array 26 können die lokalen Komponenten des magnetischen Feldes in und ausserhalb der Ebene der Oberfläche 11 gemessen werden. Der Messkopf 17 bzw. der Sensor-Array 26 sind dazu an eine Sensoransteuerungseinheit 21 angeschlossen, die den Sensor-Array 26 u.A. mit einer Vorspannung beaufschlagt und das VHD-Signal vorverstärkt. Eine nachgeschaltete Signalverarbeitungseinheit 22, die mit dem Frequenzgenerator 20 verbunden ist, demoduliert das Signal und filtert es. Eine Auswerteeinheit 23 steuert den Frequenzgenerator 20, wertet das Ausgangssignal der Signalverarbeitungseinheit 22 aus und steuert einen Roboter 24 (im Beispiel der Fig. 5 ein Roboterarm), der Die Abtastvorrichtung 15 mit der Magnetspule 16 und dem Messkopf 17 über die zu unter-

40

5

10

15

20

25

30

35

40

suchende Oberfläche 11 des Werkstücks 10 führt. Der Roboter 24 kann während der Messung die Abtastvorrichtung 15 verfahren und drehen.

[0016] Mit der in Fig. 5 gezeigten Messvorrichtung 18 kann das Verfahren wie folgt durchgeführt werden:

- 1. Risserkennung: Mit einer schnellen Messtechnik, die auf einer Veränderung der Impedanz bzw. des Widerstandes der Magnetspule 16 und/oder der Anwesenheit einer Spitze in der mit dem Messkopf 17 gemessenen, nicht in der Oberflächenebene liegenden Komponente des lokalen Magnetfeldes basiert, wird die Anwesenheit eines Risses erkannt, während sich der Roboter 24 mit einer Verfahrgeschwindigkeit von z.B. 1 cm/s bewegt.
- 2. Positionierung: Wird ein Riss entdeckt, stoppt der Roboter 24. Der Sensor-Array 26 wird dann senkrecht zur Längsrichtung des Risses positioniert.
- 3. Bestimmung der Risstiefe: In der eingestellten Position wird mittels Durchstimmen der Anregungsfrequenz der Magnetspule und Lokalisieren des Nulldurchgangs von $B_{y,0}"(y)$ die maximale Stromschichtbreite Δ_{max} gemessen und daraus mit Hilfe der Kurve aus Fig. 3 die Risstiefe d bestimmt.

[0017] Ein entscheidender Punkt des vorliegenden Verfahrens ist die Genauigkeit, mit welcher die Lage des Nulldurchgangs von $B_{y,0}$ "(y) auf der y-Achse bestimmt wird. Um eine Auflösung der Risstiefe d von 50 μm bei 1 mm, d.h. eine Auflösung von 5% zu erreichen, muss Δ_{max} mit einer Genauigkeit von 10 μm gemessen werden. Dies kann mit einem Sensor-Array 26 mit sehr dicht gepackten VHD-Sensorelementen 25 erreicht werden, wie sie an der EPFL Lausanne, Schweiz, entwickelt worden sind.

BEZUGSZEICHENLISTE

zum Riss)

[0018]

10 Werkstück (metallisch) 11 Oberfläche (Werkstück) 12 Riss 13,14 Stromschicht 15 Abtastvorrichtung 16 Magnetspule 17 Messkopf 18 Messvorrichtung 19 Treiberschaltung 20 Frequenzgenerator 21 Sensoransteuerungseinheit 22 Signalverarbeitungseinheit 23 Auswerteeinheit 24 Roboter 25 VHD-Sensorelement 26 Sensor-Array Magnetfeld (parallel zur Oberfläche, senkrecht $B_{y,0}$

d Risstiefe

Δ Stromschichtbreite

 Δ_{\max} maximale Stromschichtbreite

Patentansprüche

- 1. Verfahren zum Bestimmen geometrischer Eigenschaften (d) einer die elektrische Leitfähigkeit verändernden Anomalie (12) im oberflächennahen Bereich eines elektrisch leitenden, insbesondere metallischen Werkstücks (10), dadurch gekennzeichnet, dass im Bereich der Anomalie (12) in dem Werkstück (10) Wirbelströme (13, 14) mit unterschiedlicher Frequenz angeregt werden, und dass das von den angeregten Wirbelströmen erzeugte Magnetfeld (B_{y,0}) in der Umgebung der Anomalie (12) abgetastet und ausschliesslich aus der Verteilung des Magnetfeldes (B_{y,0}) auf die geometrischen Eigenschaften der Anomalie geschlossen wird.
- Verfahren nach Anspruch 1, dadurch gekennzeichnet, dass Anomalien in Form von Rissen (12) im Werkstück (10) untersucht werden, und dass als geometrische Eigenschaft der Risse (12) die Risstiefe (d) bestimmt wird.
- 3. Verfahren nach Anspruch 2, dadurch gekennzeichnet, dass in einem ersten Schritt die Lage des Risses (12) auf der Oberfläche (11) des Werkstücks (10) bestimmt wird, und dass in einem zweiten Schritt die Verteilung des Magnetfeldes (B_{y,0}) quer zur Längsrichtung des Risses (12) abgetastet und ausgewertet wird.
- 4. Verfahren nach Anspruch 3, dadurch gekennzeichnet, dass die Wirbelströme (13, 14) im Bereich des Risses (12) durch Anlegen eines magnetischen Wechselfeldes angeregt werden, und dass die in der Ebene der Oberfläche (11) und quer zur Längsrichtung des Risses (12) liegende Quadratur-Komponente des Magnetfeldes (B_{y,0}) abgetastet und ausgewertet wird.
- 45 5. Verfahren nach Anspruch 4, dadurch gekennzeichnet, dass die Quadratur-Komponente des Magnetfeldes (B_{y,0}) bei verschiedenen Frequenzen des magnetischen Wechselfeldes (B_{y,0}) abgetastet und ausgewertet wird.
 - Verfahren nach Anspruch 5, dadurch gekennzeichnet, dass die Frequenz des magnetischen Wechselfeldes einen vorgegebenen Frequenzbereich durchfährt.
 - 7. Verfahren nach Anspruch 6, dadurch gekennzeichnet, dass der vorgegebene Frequenzbereich von etwa 1 kHz bis zu etwa 1 MHz reicht.

55

15

20

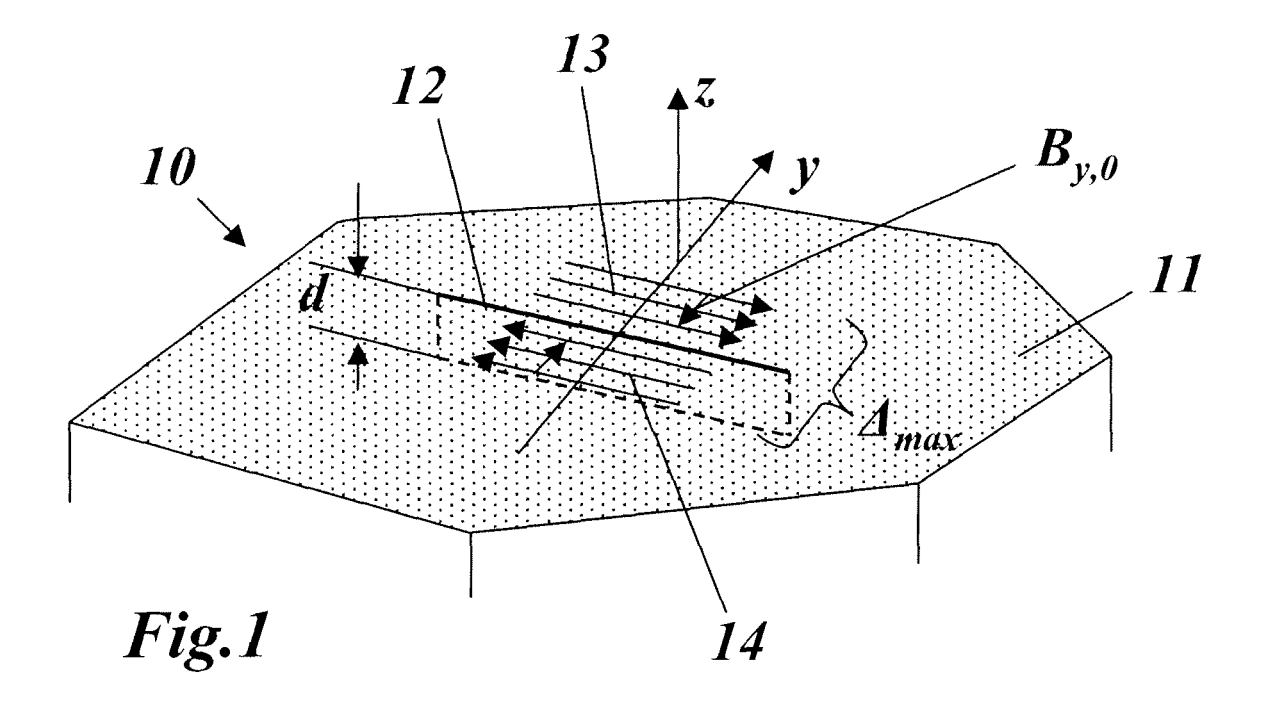
40

45

50

- 8. Verfahren nach einem der Ansprüche 4 bis 7, dadurch gekennzeichnet, dass, ausgehend von dem Riss (12), der erste Nulldurchgang der in der Ebene der Oberfläche (11) und quer zur Längsrichtung des Risses (12) liegenden Quadratur-Komponente des Magnetfeldes (B_{y,0}) bestimmt und aus dem ersten Nulldurchgang die maximale Stromschichtbreite (Δ_{max}) der mit dem Riss (12) verknüpften Stromschichten (13, 14) der Wirbelströme ermittelt wird, und dass aus der ermittelten maximale Stromschichtbreite (Δ_{max}) auf die Risstiefe (d) des zugehörigen Risses (12) geschlossen wird.
- Verfahren nach einem der Ansprüche 1 bis 8, dadurch gekennzeichnet, dass zur Messung des Magnetfeldes (B_{y,0}) ein auf der Basis des Hall-Effekts arbeitender Messkopf (17) verwendet wird.
- 10. Verfahren nach Anspruch 9, dadurch gekennzeichnet, dass der Messkopf (17) eine Mehrzahl von in einem linearen Sensor-Array (26) angeordneten Sensorelementen (25) auf CMOS-Basis in Form von vertikalen Hall-Elementen (VHD) umfasst.
- 11. Verfahren nach Anspruch 10, dadurch gekennzeichnet, dass zur Messung der in der Ebene der Oberfläche (11) und quer zur Längsrichtung des Risses (12) liegenden Quadratur-Komponente des Magnetfeldes (B_{y,0}) der lineare Sensor-Array (26) quer zur Längsrichtung des Risses (12) ausgerichtet wird.
- 12. Verfahren nach Anspruch 8, dadurch gekennzeichnet, dass die maximale Stromschichtbreite (Δ_{max}) mit einer Genauigkeit von 10 μ m und die Risstiefe (d) mit einer Auflösung von etwa 50 μ m bestimmt wird.
- 13. Messvorrichtung (18) zur Durchführung des Verfahrens nach einem der Ansprüche 1 bis 12, gekennzeichnet durch erste Mittel (16, 19, 20) zur Erzeugung von Wirbelströmen einer vorgegebenen Frequenz im Werkstück (10) sowie zweite Mittel (17, 21, 22, 23, 25, 26) zur Messung des mit den Wirbelströmen verknüpften Magnetfeldes.
- 14. Messvorrichtung nach Anspruch 13, dadurch gekennzeichnet, dass die ersten Mittel eine Magnetspule (16) umfassen, und dass die zweiten Mittel einen Messkopf (17) umfassen, der innerhalb oder unterhalb der Magnetspule (16) angeordnet ist.
- 15. Messvorrichtung nach Anspruch 14, dadurch gekennzeichnet, dass die Magnetspule (16) und der Messkopf (17) in einer Abtastvorrichtung (15) zusammengefasst sind, und dass die Abtastvorrichtung (15) über die Oberfläche (11) des Werkstücks (10) verfahrbar ist.

- **16.** Messvorrichtung nach Anspruch 15, **dadurch gekennzeichnet**, **dass** die Abtastvorrichtung (15) mittels eines Roboters (24) verfahrbar ist.
- 17. Messvorrichtung nach einem der Ansprüche 14 bis 16, dadurch gekennzeichnet, dass die Magnetspule (16) an einen Frequenzgenerator (20) angeschlossen ist, und dass der Frequenzgenerator Frequenzen im Bereich zwischen etwa 1 kHz und etwa 1 MHz erzeugt.
- 18. Messvorrichtung nach Anspruch 14, dadurch gekennzeichnet, dass der Messkopf (17) einen linearen Sensor-Array (26) mit nach dem Hall-Effekt arbeitenden Sensorelementen (25) umfasst, und dass der Messkopf (17) an eine Signalverarbeitungseinheit (22) angeschlossen ist.
- 19. Messvorrichtung nach Anspruch 18, dadurch gekennzeichnet, dass die Sensorelemente (25) des linearen Sensor-Arrays (26) auf CMOS-Basis in Form von vertikalen Hall-Elementen (VHD) ausgebildet sind.



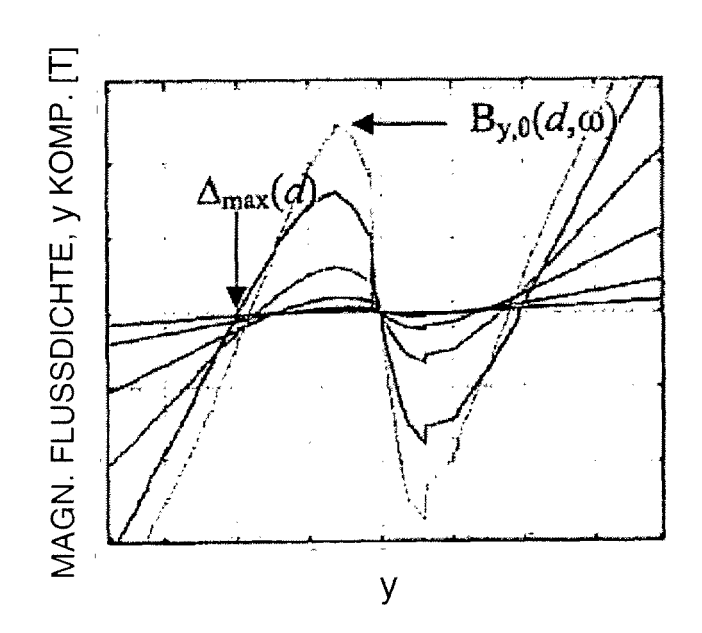
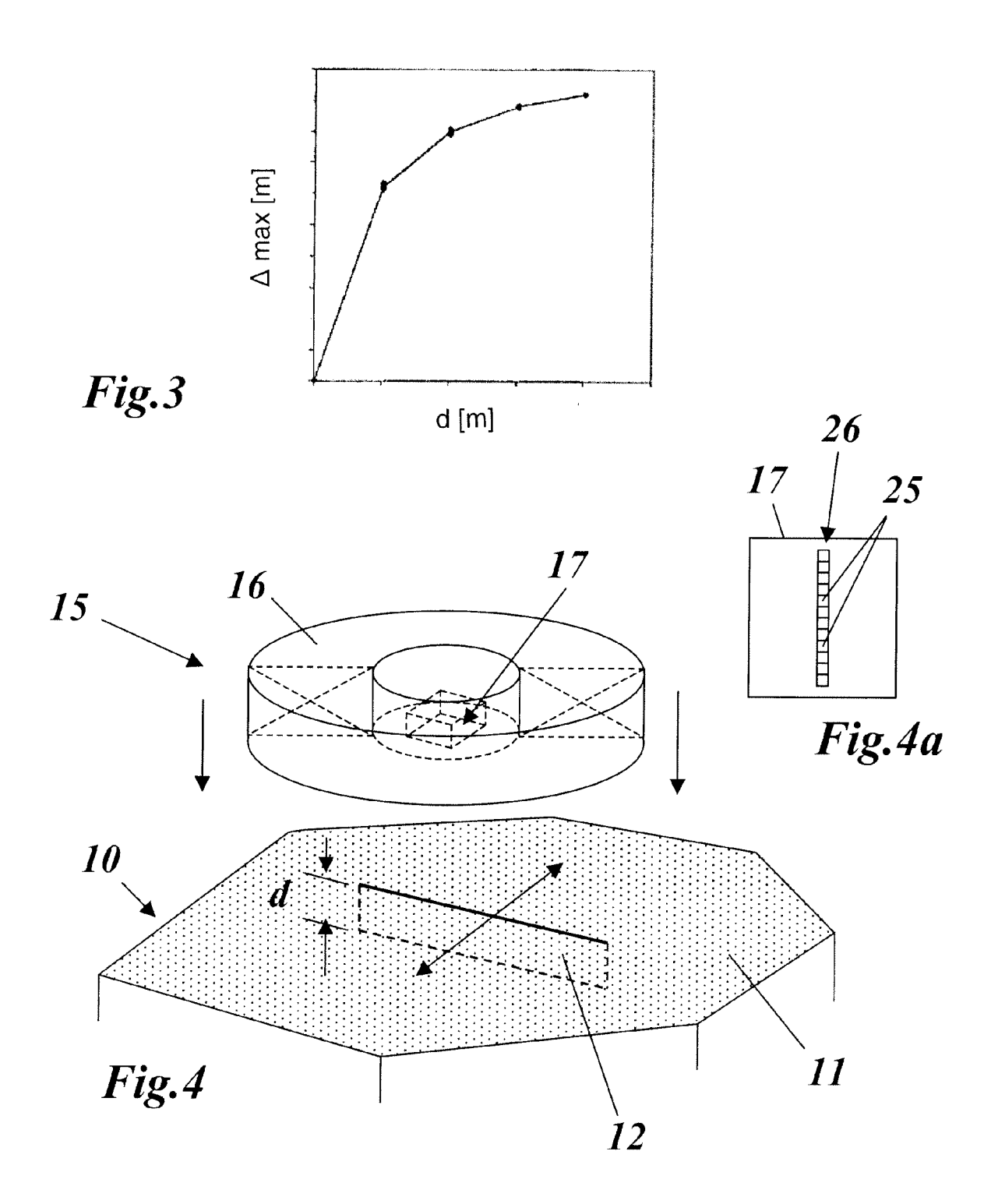
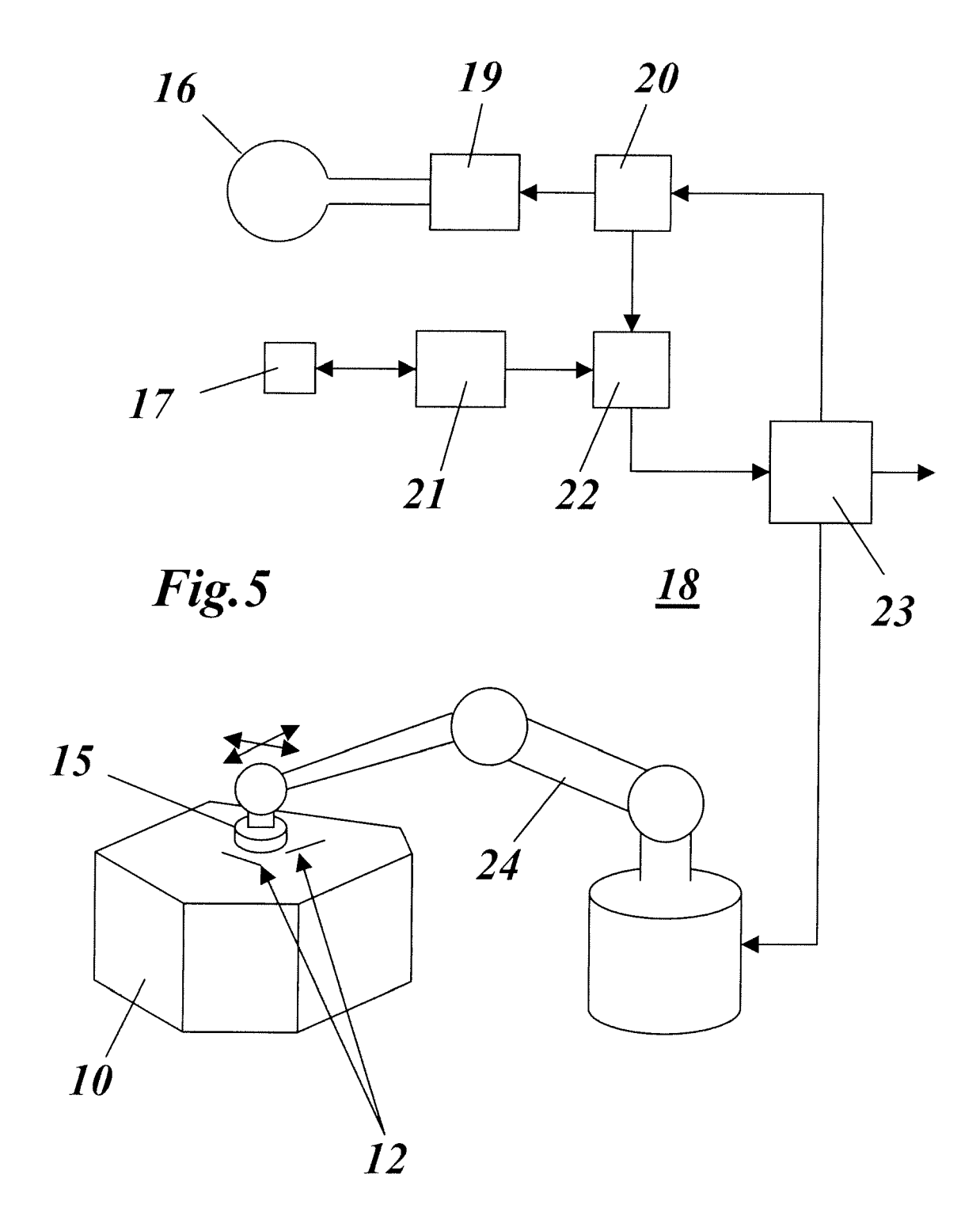


Fig.2







EUROPÄISCHER RECHERCHENBERICHT

Nummer der Anmeldung EP 08 16 7754

<u>, , , , , , , , , , , , , , , , , , , </u>	EINSCHLÄGIGE Kennzeichnung des Dokume	KLASSIFIKATION DER		
Kategorie	der maßgeblicher		Betrifft Anspruch	ANMELDUNG (IPC)
X	characterisation" SENSORS AND ACTUATOR S.A., LAUSANNE, CH, Bd. 125, Nr. 2, 10. Januar 2006 (200 186-191, XP005221303 ISSN: 0924-4247	For crack detection and RS A, ELSEVIER SEQUOIA 06-01-10), Seiten	1,2, 13-19	INV. G01N27/90
х	magnetic sensing app a silicon Hall effect integrated electropl JOURNAL OF MICROMECH MICROENGINEERING, IN PUBLISHING, BRISTOL,	device with an lated planar coil for plications; A study on ct device with an lated planar coil "HANICS & ISTITUTE OF PHYSICS GB, arz 2006 (2006-03-01), 20104931	13-19	RECHERCHIERTE SACHGEBIETE (IPC)
X	SADEGHI S H H ET AL: "SURFACE POTENTIAL DISTRIBUTIONS DUE TO EDDY CURRENTS AROUND LONG CRACKS IN METALS, INDUCED BY U-SHAPED CURRENT-CARRYING WIRES" IEEE TRANSACTIONS ON MAGNETICS, IEEE SERVICE CENTER, NEW YORK, NY, US, Bd. 27, Nr. 1, Januar 1991 (1991-01), Seiten 674-679, XP000246986 ISSN: 0018-9464		13-19	
A	* Absatz [0001] *	-/	1-12	
Der vo	rliegende Recherchenbericht wurd	le für alle Patentansprüche erstellt		
	Recherchenort	Abschlußdatum der Recherche		Prüfer
München 28		28. Januar 2009	Stu	ssi, Elisa
X : von Y : von ande	ATEGORIE DER GENANNTEN DOKUM besonderer Bedeutung allein betrachte besonderer Bedeutung in Verbindung r veren Veröffentlichung derselben Katego nologischer Hintergrund	E : älteres Patentdok t nach dem Anmeld nit einer D : in der Anmeldung rie L : aus anderen Grün	ument, das jedoo edatum veröffen angeführtes Dol den angeführtes	tlicht worden ist kument
O : nich	tschriftliche Offenbarung schenliteratur	& : Mitglied der gleich Dokument	en Patentfamilie	e, übereinstimmendes



EUROPÄISCHER RECHERCHENBERICHT

Nummer der Anmeldung EP 08 16 7754

	EINSCHLÄGIGE			
Kategorie	Kennzeichnung des Dokum der maßgebliche	nents mit Angabe, soweit erforderlich, en Teile	Betrifft Anspruch	KLASSIFIKATION DER ANMELDUNG (IPC)
Х	of induction coils sizing in metals by field measurement t NDT & E INTERNATION BUTTERWORTH-HEINEMABd. 34, Nr. 7, Okto Seiten 493-504, XPG ISSN: 0963-8695	AL, NN, OXFORD,, GB, bber 2001 (2001-10), 04250353	13-19	
Α	* Absatz [0001]; Ab	bildungen 1,2,6-10 *	1-12	
X	20TH INTERNATIONAL SERBIA 12-14 SEPT. USA, IEEE, US,	.995. PROCEEDINGS., 1995 CONFERENCE ON NIS, 1995, NEW YORK, NY, er 1995 (1995-09-12), 110161737	13-19	RECHERCHIERTE
Α	DOVER W D ET AL: "The Use of A-C Field Measurements to Determine the Shape and Size of a Crack in a Metal" EDDY-CURRENT CHARACTERIZATION OF MATERIALS AND STRUCTURES, XX, XX, 1981, Seiten 401-427, XP009095690 * das ganze Dokument *		1-12	SACHGEBIETE (IPC)
Α	MINKOV D ET AL: "Method for sizing of 3-D surface breaking flaws by leakage flux" NDT & E INTERNATIONAL, BUTTERWORTH-HEINEMANN, OXFORD,, GB, Bd. 31, Nr. 5, Oktober 1998 (1998-10), Seiten 317-324, XP004292591 ISSN: 0963-8695 * das ganze Dokument *		1-12	
Der vo	rliegende Recherchenbericht wu	rde für alle Patentansprüche erstellt		
	Recherchenort	Abschlußdatum der Recherche		Prüfer
München 28		28. Januar 2009	Stussi, Elisa	
X : von Y : von ande A : tech O : nich	ATEGORIE DER GENANNTEN DOKI besonderer Bedeutung allein betracht besonderer Bedeutung in Verbindung ren Veröffentlichung derselben Kateg nologischer Hintergrund tschriftliche Offenbarung schenliteratur	runde liegende T ument, das jedoc ledatum veröffen angeführtes Dol den angeführtes	heorien oder Grundsätze oh erst am oder tlicht worden ist kument Dokument	

EPO FORM 1503 03.82 (P04C03)



EUROPÄISCHER RECHERCHENBERICHT

Nummer der Anmeldung EP 08 16 7754

	EINSCHLÄGIGE				
Kategorie	Kennzeichnung des Dokum der maßgebliche	ents mit Angabe, soweit erforderlic n Teile	ch, Bo	etrifft Ispruch	KLASSIFIKATION DER ANMELDUNG (IPC)
A	<u> </u>	ll devics for Magnet " 97, -06-16), - 19. Juni		ispruen	RECHERCHIERTE
					SACHGEBIETE (IPC)
Der vo	rliegende Recherchenbericht wur	de für alle Patentansprüche erstell			
Recherchenort München		Abschlußdatum der Recherche	Abschlußdatum der Recherche		Prüfer
		28. Januar 20	09	Stussi, Elisa	
KATEGORIE DER GENANNTEN DOKUMENTE X: von besonderer Bedeutung allein betrachtet Y: von besonderer Bedeutung in Verbindung mit einer anderen Veröffentlichung derselben Kategorie A: technologischer Hintergrund O: nichtschriftliche Offenbarung P: Zwischenliteratur		et E : älteres Pate mit einer D : in der An prie L : aus andere	T: der Erfindung zugrunde liegende Theorien oder Grundsätze E: älteres Patentdokument, das jedoch erst am oder nach dem Anmeldedatum veröffentlicht worden ist D: in der Anmeldung angeführtes Dokument L: aus anderen Gründen angeführtes Dokument &: Mitglied der gleichen Patentfamilie, übereinstimmendes Dokument		